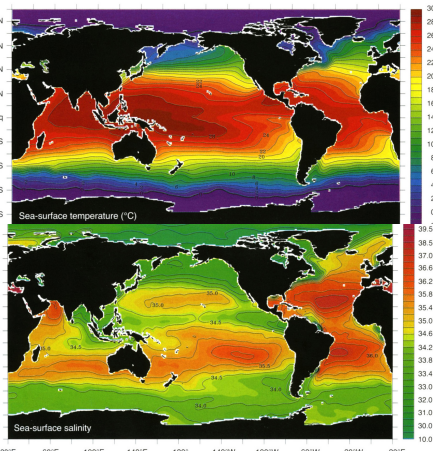


宇宙地球科学Ⅰ (第五回目)

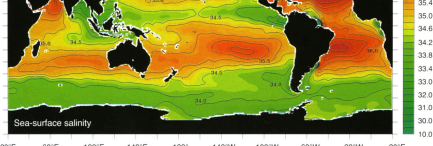
大気・海洋

東京大学総合文化研究科：
小宮 剛 准教授
2014/11/6

②-2A 海洋表面
温度分布



②-2B 海洋表面
での塩分濃度
分布

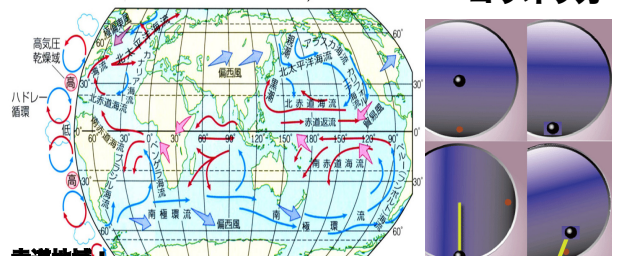


海洋の循環(2つのタイプがある)

②-1 海洋表面での循環(海流、風成循環: 深さ1000m位まで)

自転方向 →

コリオリ力

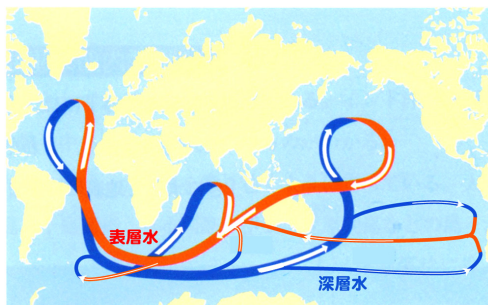


赤道地域：

ハドレー循環～表面では北から南への空気の流れ+自転→貿易風
中緯度地域～逆に南から北への流れ+自転→偏西風
→風+駆かく海水が極域へ移動する→海流

②-2

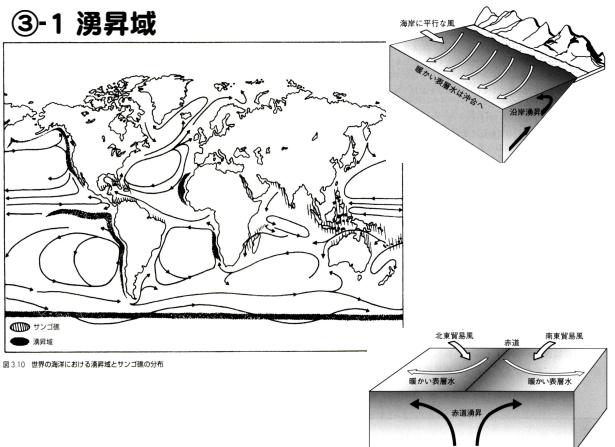
海洋大循環(熱塩循環、Broeckerのベルトコンベアーモデル)



① Stommel(1961)によって提唱され、Broeckerによって海水の年代を¹⁴Cを用いて測ることによって実証された。

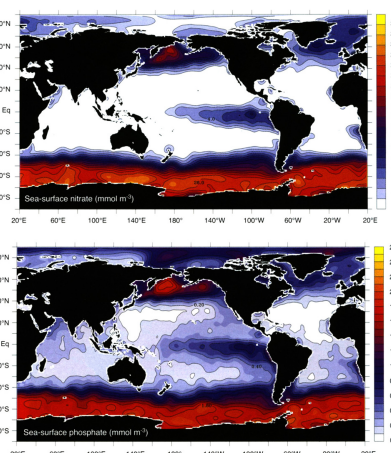
→最も古い年代は北太平洋深層水で約2000年(数千年規模で循環)

③-1 湧昇域

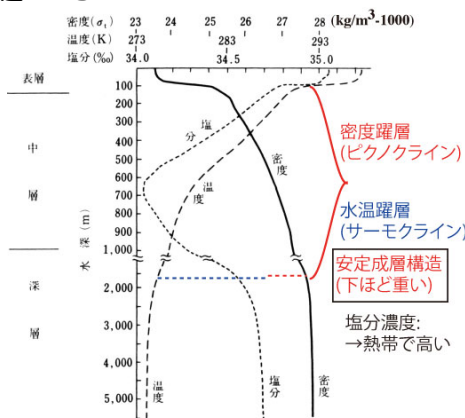


④ 海洋表層の栄養塩の濃度分布

2大重要栄養塩(NO_3^- , P)



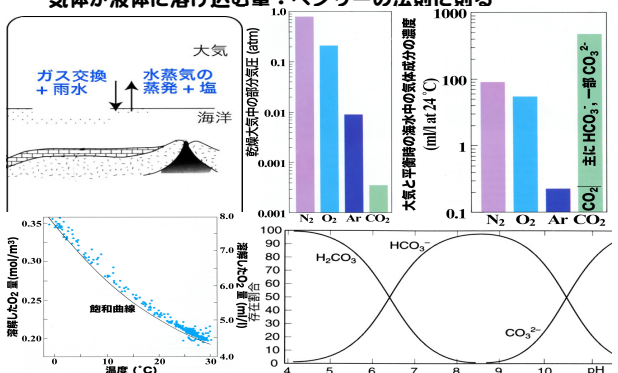
①-2 垂直構造つづき



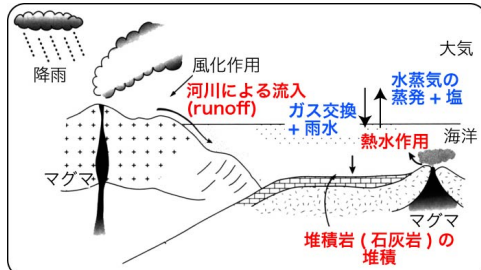
(5) 溶存ガス -大気とのガス交換+雨水-

(1) 大気とのガス交換

気体が液体に溶け込む量：ヘンリーの法則に則る



(1) 海洋: 海洋への物質の流入・流出



- (1) 大陸地殻(河川による)の流入(浸食・風化・運搬)
- (2) 中央海嶺における熱水変質作用
- (3) 堆積物(石灰岩・泥岩・チャート・Mnノジュール)の堆積
- (4) 大気とのガス交換や雨水による流入・蒸発

海水中の主なイオンの濃度と滞留時間

イオン	濃度(μM)	滞留時間(万年)
Cl^-	5.6×10^5	9,000
Na^+	4.8×10^5	6,000
Mg^{2+}	5.5×10^4	1,000
SO_4^{2-}	2.9×10^4	900
Ca^{2+}	1.1×10^4	100
K^+	1.0×10^4	1,000
$\text{C}(\text{HCO}_3^-, \text{CO}_3^{2-}, \text{CO}_2)$	$2-2.4 \times 10^3$	8
Br^-	8.6×10^2	10,000
$\text{Bi}(\text{OH})_3, \text{B}(\text{OH})_4^-$	4.3×10^2	1,000
$\text{Cu}(\text{CuO}_2, \text{Cu}^{2+}, \text{Co}(\text{OH})^{2+})$	$0.02-1 \times 10^{-3}$	0.05
$\text{Si}(\text{OH})_4$	$0-3 \times 10^{-3}$	7
$\text{Fe}(\text{Fe(OH)}_3)$	$0.5-6 \times 10^{-3}$	0.5
$\text{P}(\text{NaHPO}_4, \text{HPO}_4^{2-}, \text{MgHPO}_4)$	$0-0.18^{-3}$	2
$\text{Mn}(\text{Mn}^{2+}, \text{MnCl}^-)$	$0.08-3 \times 10^{-3}$	0.006
$\text{Al}(\text{Al(OH)}_3, \text{Al}(\text{OH})_4^-)$	$0-4 \times 10^{-2}$	0.02
$\text{Ce}(\text{CeCO}_3^+, \text{Ce}^{3+}, \text{CeO}_4^{2-})$	$3-80 \times 10^{-6}$	0.01
$\text{Nd}(\text{NdCO}_3^+, \text{Nd}^{3+}, \text{NdSO}_4^{2-})$	$7-50 \times 10^{-6}$	0.06
可溶性 (アルカリ・アルカリ土類)	91	5
$\text{Sr}^{2+}, \text{Rb}^+$	1.4	300
可溶性 (オキソ酸) $\text{UO}_2(\text{CO}_3)_3^{4-}$	1.07×10^{-1} 1.4×10^{-2}	80 40

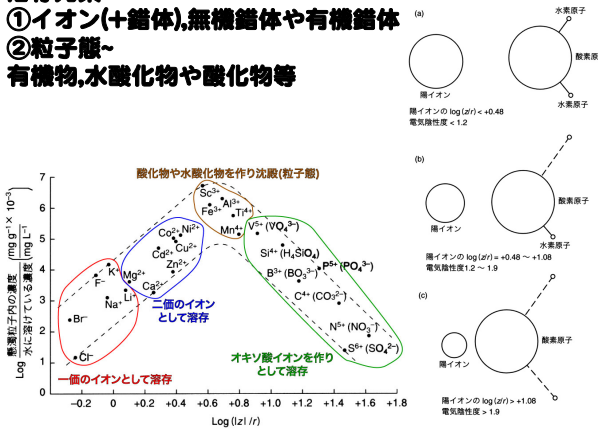
平均滞留時間(τ) = (海水中の全量 mol)/(流入量 mol/y)
タイムスケール: 热塩循環(数千年), 海流(数ヶ月)

溶解元素

①イオン(+錯体),無機錯体や有機錯体

②粒子態~

有機物,水酸化物や酸化物等

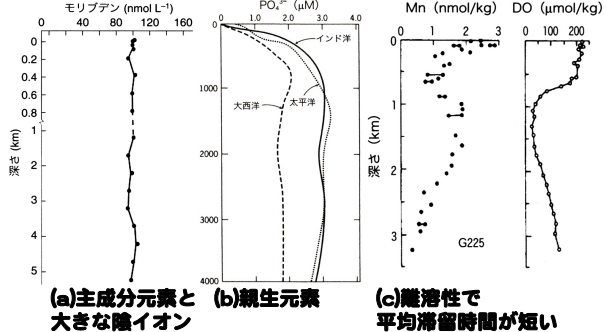


③ 海水組成の鉛直分布

(a) 保存性成分型 ~鉛直方向で濃度が変化しない

(b) リサイクル型 ~表層が低く、深層で高い

(c) スキャベンジ型~表層で多く、深層で少ない。



(a) 主成分元素と
(b) 生成元素
大きな陰イオン

(c) 難溶性で
平均滞留時間が短い

(9) 生物ポンプと物理(無機, アルカリ)ポンプ ～CO₂を深海に運ぶプロセス～

①生物ポンプ

有光層と植物プランクトン

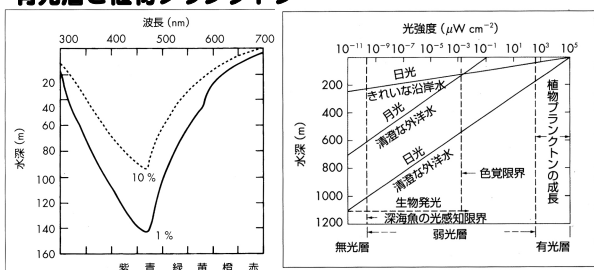
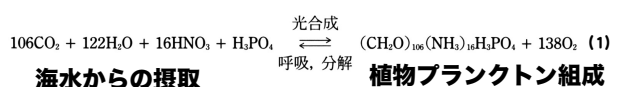


図 2.4 清潔な海水における波長ごとの光の透過率
透過率が10%および1%になる水深を線で結んだ。
図 2.5 光の透過に基づく鉛直的生態区分
光強度は対数表示であることに注意。無光層・弱光層・有光層を区切る破線はおおよそその目安である。

①-1 生物の化学組成と栄養塩濃度

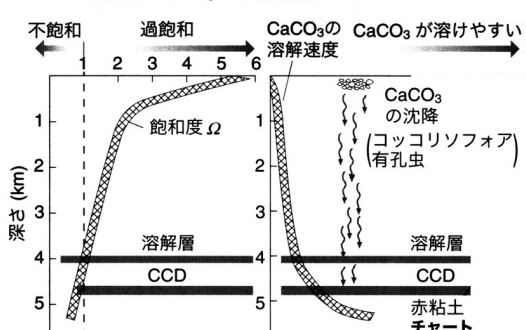
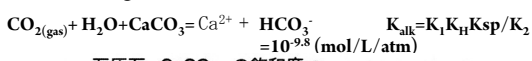
(1) 植物プランクトンの元素組成比

$$\text{C:N:P} = 106:16:1 \text{ (Redfield比)}$$



植物プランクトンの遺骸が沈降して、
分解され、深海にC, N, Pが運ばれる
→生物ポンプ1

⑤ CaCO₃の溶解と水深



⑥ 生物ポンプと無機(物理, アルカリ)ポンプまとめ

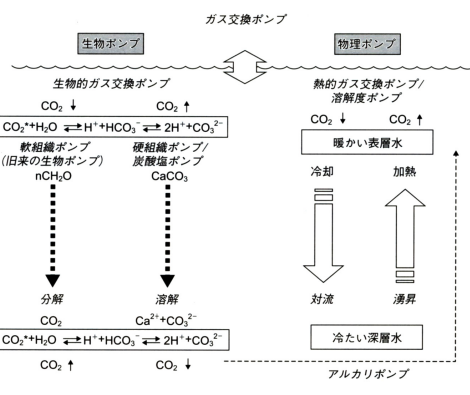


図 1.3.9 生物ポンプと物理ポンプのまとめ。

(2) 大気の組成

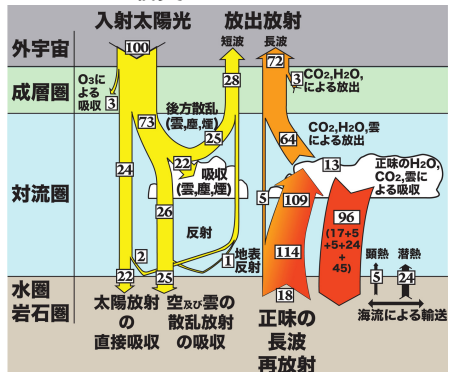
① 地球大気の組成

地表における乾燥大気組成比

成分	分子量	容積存在比 (ppmv)	平均滞留時間	
N ₂	28.01	780800		2×10^7 年
O ₂	32	209500		2200 年
Ar	39.94	9340		
CO ₂	44.01	360	增加率 年 0.4%	4 年
Ne	20.18	18		
He	4.00	5.2		
CH ₄	16.05	1.8	增加率 年 1.0%	12 年
Kr	83.80	1.1		
H ₂	2.02	0.5		2 年
N ₂ O	44.02	0.3	增加率 年 0.2%	114 年
CO	28.01	0.1	変動大	0.1 年
Xe	131.29	0.09		
O ₃	48.00	0.03	変動大	数日-数週間
H ₂ O	18.02	1000-30000	変動大	

(3) エネルギー収支と地球大気

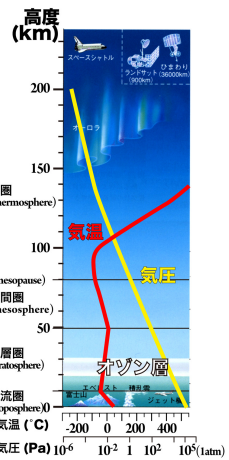
①エネルギー収支



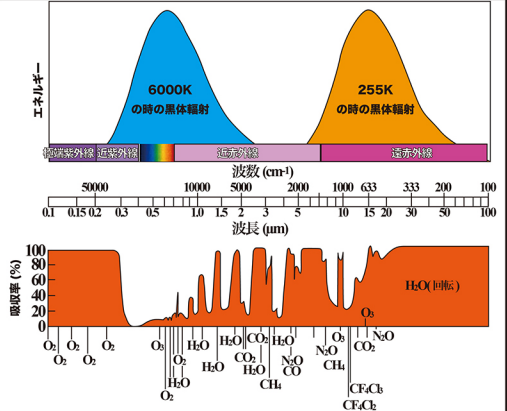
(1) 地球の大気構造

熱圖

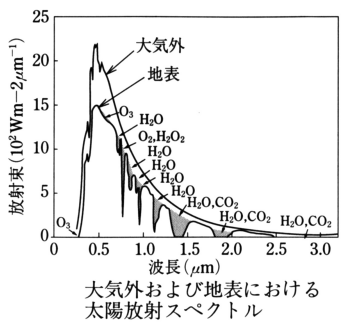
- ④太陽の紫外放射による電離・解離による加熱：高度ほど高温
 - ⑤重力的に成層
 - 中間圏**
 - ⑥O₃の紫外吸光による加熱とCO₂, H₂O等による赤外放射冷却
 - 成層圏**: 高度25~50km付近の温度極大まで。
 - ⑦O₃の紫外放射吸収加熱とCO₂, H₂O, O₃の赤外放射冷却
 - ⑧O₃の主要部は成層圏にあり、その中心は中緯度で25km付近
 - 対流圏**: 高度15km付近に現れる最初の温度極小まで。
 - ⑨温度(密度)的に不安定
 - ⑩圏界面は赤道(17)極域(8km)



③太陽入射と地球放射エネルギーのまとめ

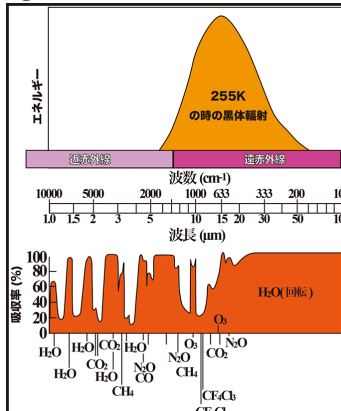


②入射太陽エネルギー



太陽放射スペクトル
大気外~6000Kの黒体
輻射スペクトルに近似
地表
300mm以下: O_3, O_2, H
などによって完全に吸収
300~700mm: O_3 などに
より一部吸収
700mm以上: H_2O や CO_2
により一部の波長で完全
吸収

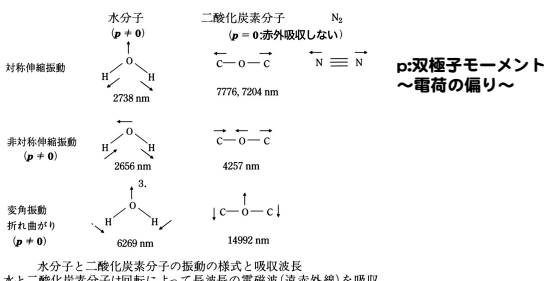
②地球放射エネルギー



温室効果ガスとその吸収帯
~赤外域では大部分CO₂や
H₂Oにより吸収

8~12μmに、CO₂やH₂Oに
よって吸収されないバンド
あり→「赤外領域大気の
窓」
この波長域により放射され
る。
→ここが閉じられると温室
効果による温帯化へ

②分子の構造と吸収



水と二酸化炭素分子は回転によって長波長の電磁波(赤外線)を吸収
温室効果ガスの特徴(赤外線をよく吸収する分子)
①極性のある分子(ΔQ :極性の大きさ, $\times(N_2$ や O_2))
②振動により結合長が変化(Δq :結合長の変化量)
赤外線の吸収量: $\delta \mu (= \Delta Q * \Delta q)$ の2乗に比例

(4) 各惑星の物理的特性と大気や温度の比較

特性	金星	地球	火星
全質量 (10^{27} kg)	5	6	0.6
半径 (km)	6049	6371	3390
大気の質量 (割合)	100	1	0.06
表面気圧 (atm)	90	1	0.008
太陽からの距離 (10^6 km)	108	150	228
太陽定数 (W/cm^2)	2613	1380	589
アルベド (%)	75	30	15
雲量 (%)	100	50	変動する
有効放射温度 ($^{\circ}\text{C}$)	-39	-18	-56
表面温度 ($^{\circ}\text{C}$)	427	15	-53
温室効果による温度上昇 ($^{\circ}\text{C}$)	446	33	3
$\text{N}_2(\%)$	<2	78	<2.5
$\text{O}_2(\%)$	<1 ppmv	21	<0.25
$\text{CO}_2(\%)$	>98	0.035	>96
$\text{H}_2\text{O}(\%)$	$1 \times 10^{-4} \sim 0.3$	$3 \times 10^{-4} \sim 4$	<0.001
$\text{SO}_2(\%)$	150 ppmv	<1 ppbv	0
$\text{Ar}(\%)$	-	0.9	1.6
雲の構成	H_2SO_4	H_2O	$\text{H}_2\text{O}, \text{CO}_2$

太陽の組成: H_2SO_4 , H_2O , 霧, H_2O , CO_2
 太陽定数: 太陽からの入射エネルギー量 → 太陽からの距離に依存。
 有効放射温度: 宇宙から見た時の地球の温度: (入射エネルギー) - (入射時の大気による吸収) - (放射時の大気による吸収: 温室効果)